

## BAB II

### TINJAUAN PUSTAKA

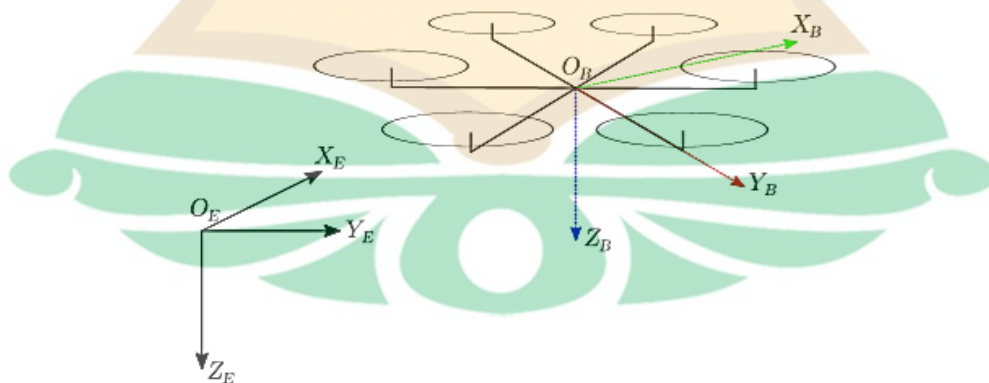
#### 2.1 *Hexacopter*

*Hexacopter* adalah wahana udara *multirotor* yang memiliki sebuah sistem 6 derajat kebebasan, dinamika yang tidak stabil dan sangat membutuhkan kendali. 6 derajat kebebasan *multirotor* mewakili dari gerak translasi dan rotasi pada sumbu  $x$ ,  $y$  dan  $z$  yang dimana gerak translasi dibuat dengan mengubah arah dan besarnya dorongan baling baling dan gerak rotasi dicapai dengan dengan memiringkan vektor dorong yang didapatkan dengan mengubah kecepatan *propeller* secara individual untuk membuat torsi disekitar pusat rotasi (Fogelberg,2013).

UAV memiliki beberapa kemampuan saat bermanuver seperti *Vertical Take Off and Landing* (VTOL), *hover*, *level flight*, dan melakukan transisi saat *hover* menuju *level flight* (Ferit,2016). *Hexacopter* memiliki keunggulan tersendiri bila dibandingkan dengan *quadcopter*, yang dimana *hexacopter* dapat memuat berat yang lebih banyak (Lighthart,2017).

#### 2.2 Koordinat Sistem

Dalam mendeskripsikan sebuah gerakan *hexacopter* digunakan dua koordinat sistem yaitu *earth fixe frame* (referensi koordinat bumi) dan *body fixed frame* (referensi koordinat wahana). Berikut gambar 2.1 ilustrasi koordinat sistem.



Gambar 2. 1 Dua Koordinat Sistem Untuk Mendeskripsikan Gerakan *Hexacopter* (Lindblo,2015)

*Earth fixe frame* dilambangkan dengan notasi E pada gambar 2.1 dan merupakan sistem yang menggunakan koordinat NED (*North, East, Down*). Titik origin *earth fixe Frame* dilambangkan dengan  $O_E$  dengan sumbu arah yang dilambangkan dengan  $X_E$ ,  $Y_E$  dan  $Z_E$  yang terlihat pada gambar 2.1. Adapun arah dan rotasi vektor *vehicle* terhadap *frame* bumi dengan x, y dan z sebagai arah sumbu vektor *vehicle* dan  $\psi, \theta$ , dan  $\varphi$  sebagai sudut rotasi vektor *vehicle* yang dapat didenisikan sebagai berikut:

$$\xi = [x, y, z]^T \quad (2.1)$$

$$\eta = [\psi, \theta, \varphi]^T \quad (2.2)$$

(Suiçmez,2014)

*body fixed frame* dilambangkan dengan notasi B dan titik pusat wahana dilambangkan dengan notasi  $O_B$  yang ditunjukkan pada gambar 2.1. *Body fixed frame* bergerak relatif terhadap *frame* bumi saat *hexacopter* bergerak, dengan arah gerak kedepan pada sumbu  $X_B$  kemudian arah gerak kesamping pada sumbu  $Y_B$  dan sumbu  $Z_B$  mengacu pada arah gerak keatas atau kebawah. Adapun kecepatan rotasi dan kecepatan translasi *vehicle* terhadap *frame* bodi dengan  $p, q$ , dan  $r$  sebagai kecepatan rotasi *vehicle* dan  $u, v$ , dan  $w$  sebagai kecepatan translasi *vehicle* yang dapat didefinisikan sebagai berikut:

$$\omega = [p, q, r]^T \quad (2.3)$$

$$V_B = [u, v, w]^T \quad (2.4)$$

(Lindblo,2015) (Suiçmez,2014)

### 2.3 Matrik Rotasi

Sudut *euler* sering digunakan dalam mentransformasi antara koordinat sistem. Transformasi ini diperoleh dengan menggunakan matrik rotasi yang terdiri dari sudut *euler*. Penggandaan dari matriks rotasi dan vektor dalam satu sistem koordinat mengubah vektor tersebut ke sistem koordinat lain yang dilakukan antara dua koordinat sistem E dan B (Fogelberg,2013). Matrik rotasi dapat ditemukan

berdasarkan rotasi terhadap sumbu  $x$ ,  $y$  dan  $z$ , dengan notasi  $s$  sebagai  $\sin$ ,  $c$  sebagai  $\cos$  dan  $t$  sebagai  $\tan$  sehingga matrik rotasi didapatkan sebagai berikut:

Rotasi sumbu  $x$

$$R_B^E(\varphi) = \begin{bmatrix} 1 & 0 & 0 \\ 0 & c(\varphi) & -s(\varphi) \\ 0 & s(\varphi) & c(\varphi) \end{bmatrix} \quad (2.5)$$

Rotasi sumbu  $y$

$$R_B^E(\theta) = \begin{bmatrix} c(\theta) & 0 & s(\theta) \\ 0 & 1 & 0 \\ -s(\theta) & 0 & c(\theta) \end{bmatrix} \quad (2.6)$$

Rotasi sumbu  $z$

$$R_B^E(\psi) = \begin{bmatrix} c(\psi) & -s(\psi) & 0 \\ s(\psi) & c(\psi) & 0 \\ 0 & 0 & 1 \end{bmatrix} \quad (2.7)$$

dari ketiga rotasi diatas maka didapatkan transformasi matrik rotasi dari *frame* bodi terhadap *frame* bumi  $R_B^E$  sebagai berikut:

$$R_{zyx}(\psi, \theta, \varphi) = R_z(\psi) \cdot R_y(\theta) \cdot R_x(\varphi)$$

$$\begin{bmatrix} c(\theta)c(\psi) & s(\varphi)s(\theta)c(\psi) - c(\varphi)s(\psi) & c(\varphi)s(\theta)c(\psi) + s(\varphi)s(\psi) \\ c(\theta)s(\psi) & s(\varphi)s(\theta)s(\psi) + c(\varphi)c(\psi) & c(\varphi)s(\theta)s(\psi) - s(\varphi)c(\psi) \\ -s(\theta) & s(\varphi)c(\theta) & c(\varphi)c(\theta) \end{bmatrix} \quad (2.8)$$

untuk mendapatkan matriks rotasi *frame* bumi terhadap *frame* bodi dapat mentranspose matriks  $R_B^E$  sehingga transformasi matriks dari *frame* bumi terhadap *frame* bodi dilakukan sesuai dengan berikut:

$$(R_B^E)^{-1} = (R_B^E)^T = R_E^B \quad (2.9)$$

(Fogelberg,2013) (Nugraha ,2017)

## 2.4 Kinematika *Hexacopter*

Setelah didapatkan matrik transformasi maka dapat ditemukan persamaan kinematika kecepatan translasi *vehicle* terhadap *frame* bumi  $V_E$  sebagai berikut:

$$V_E = R_B^E V_B \quad (2.10)$$

$$V_E = \dot{\xi} = [\dot{x} \ \dot{y} \ \dot{z}]^T \quad (2.11)$$

$$\dot{\xi} = R_B^E \dot{V}_B \quad (2.12)$$

sehingga didapatkan persamaan sebagai berikut:

$$\begin{aligned} \dot{x} &= w[s(\varphi)s(\psi) + c(\varphi)s(\theta)c(\psi)] - v[c(\varphi)s(\psi) - s(\varphi)s(\theta)c(\psi)] + \\ &\quad u[c(\theta)c(\psi)] \\ \dot{y} &= v[c(\varphi)c(\psi) + s(\varphi)s(\theta)s(\psi)] - w[s(\varphi)c(\psi) - c(\varphi)s(\theta)s(\psi)] + \\ &\quad u[c(\theta)s(\psi)] \\ \dot{z} &= w[c(\varphi)c(\theta)] + v[s(\varphi)c(\theta)] - u[s(\theta)] \end{aligned} \quad (2.13)$$

dengan menggunakan matrik transformasi sudut *angular* yang didefinisikan  $L_R^{-1}$  maka didapatkan:

$$L_R^{-1} = \begin{bmatrix} 1 & s(\varphi)t(\theta) & c(\varphi)t(\theta) \\ 0 & c(\varphi) & -s(\varphi) \\ 0 & \frac{s(\varphi)}{c(\theta)} & \frac{c(\varphi)}{c(\theta)} \end{bmatrix} \quad (2.14)$$

sehingga didapatkan persamaan kinematika kecepatan sudut sebagai berikut:

$$\dot{\eta} = L_R^{-1} \omega \quad (2.15)$$

dimana  $\dot{\eta} = [\dot{\varphi} \ \dot{\theta} \ \dot{\psi}]^T$  dan  $\omega = [p, q, r]^T$  maka didapatkan:

$$\begin{aligned} \dot{\varphi} &= p + q[s(\varphi)t(\theta)] + r[c(\varphi)t(\theta)] \\ \dot{\theta} &= q[c(\varphi)] - r[s(\varphi)] \\ \dot{\psi} &= p \left[ \frac{s(\varphi)}{c(\theta)} \right] + r \left[ \frac{c(\varphi)}{c(\theta)} \right] \end{aligned} \quad (2.16)$$

## 2.5 Gaya dan Momen Eksternal

Bagian ini akan membahas gaya-gaya yang bekerja pada sistem yang dijelaskan pada sub bab berikut.

### 2.5.1 Gaya Gravitasi

Gaya gravitasi yang terjadi diasumsikan konstan maka gaya gravitasi dengan notasi  $m$  sebagai massa dari *hexacopter* dan  $g$  sebagai nilai gravitasi yaitu  $9.81 \text{ m/s}^2$  dapat ditulis sebagai berikut:

$$F_{grav,E} = -m \begin{bmatrix} 0 \\ 0 \\ g \end{bmatrix} \quad (2.17)$$

dengan menggunakan matriks transformasi  $R_E^B$  diperoleh gaya gravitasi yang diekspresikan dalam  $F_B$ ,  $F_{grav,B}$  dapat ditulis sebagai berikut:

$$F_{grav,B} = -R_E^B m \begin{bmatrix} 0 \\ 0 \\ g \end{bmatrix} \quad (2.18)$$

(Suiçmez,2014)

### 2.5.2 Gaya Total

Gaya total yang dihasilkan oleh sistem *propeller hexacopter* dijadikan sebagai *input*  $U_1$ . Maka gaya total *hexacopter* dalam  $F_B$ ,  $F_{prop,B}$  dapat ditulis sebagai berikut:

$$F_{prop,B} = \begin{bmatrix} 0 \\ 0 \\ U_1 \end{bmatrix} \quad (2.19)$$

### 2.5.3 Gaya Drag

Efek gaya *drag* aerodinamika dianggap terjadi hanya pada dinamika translasi. Gaya *drag* aerodinamika dapat diekspresikan sebagai berikut:

$$F_{aero,B} = -K_t V_B = -K_t \begin{bmatrix} u \\ v \\ w \end{bmatrix} \quad (2.20)$$

$K_t$  adalah suatu nilai konstan dan  $V_B$  adalah kecepatan translasi.

(Suiçmez,2014)

#### 2.5.4 Aktuator *Hexacopter*

Dalam menciptakan torsi disekitar sumbu x, y, z dilakukan pengaturan kecepatan pada keenam motor *vehicle* dan dengan demikian menciptakan rotasi *roll*, *pitch*, dan *yaw*. Torsi adalah gaya yang diikalikan dengan jarak motor ke sumbu putar. Gaya total dorong pada sumbu z bergantung pada jumlah kecepatan baling baling yang mempengaruhi gaya dorong ke atas. Berdasarkan hal tersebut maka dapat diberikan persamaan gaya total ke atas pada sumbu z dan torsi pada ketiga sumbu rotasi sebagai berikut:

$$\begin{aligned} F_{thrust} &= f_1 + f_2 + f_3 + f_4 + f_5 + f_6 \\ \tau_{pitch} &= bl \frac{\sqrt{3}}{2} (-\Omega_1^2 + \Omega_3^2 + \Omega_4^2 - \Omega_6^2) \\ \tau_{roll} &= bl \left( \frac{1}{2} (-\Omega_1^2 - \Omega_3^2 + \Omega_4^2 - \Omega_6^2) - \Omega_2^2 - \Omega_5^2 \right) \\ \tau_{yaw} &= d (-\Omega_1^2 + \Omega_2^2 - \Omega_3^2 + \Omega_4^2 - \Omega_5^2 + \Omega_6^2) \end{aligned} \quad (2.21)$$

dimana  $l$  adalah panjang jarak antara setiap motor terhadap titik sumbu rotasi,  $d$  adalah *drag factor*,  $f_t$  adalah total gaya keatas,  $\tau_{xyz}$  adalah torsi untuk gerak terhadap sumbu x, y dan z dan  $\Omega$  adalah kecepatan putar. Adapun perkalian konstanta  $b$  dengan  $\Omega_i^2$  menghasilkan thrust (Fogelberg,2013).

#### 2.6 Model Dinamika *Nonlinear*

Bagian ini model dinamika *nonlinear* akan diperoleh dengan menggunakan hukum newton untuk gerak translasi dan rotasi yang dapat diperoleh masing-masing sebagai berikut:

$$\Sigma F_{eks} = m\dot{V}_B + \omega_B \times mV_B \quad (2.22)$$

$$\Sigma M_{eks} = J\dot{\omega}_B + \omega_B \times (J\omega) \quad (2.23)$$

dimana  $M_{eks} = [\tau_x \tau_y \tau_z]^T \in \mathbb{R}^3$  adalah total torsi dan  $\omega_B = [p, q, r]^T$  adalah kecepatan sudut dan  $\times$  adalah perkalian cross dan  $V_B = [u, v, w]^T$  adalah kecepatan translasi dan  $J$  merupakan matriks inersia diagonal seperti berikut:

$$J = \begin{bmatrix} I_x & 0 & 0 \\ 0 & I_y & 0 \\ 0 & 0 & I_z \end{bmatrix} \in \mathbb{R}^3 \quad (2.24)$$

$\Sigma F_{eks}$  dan  $M_{eks}$  adalah gaya dan torsi yang bekerja pada bodi *hexacopter* yang dimana  $\Sigma F_{eks}$  dan  $\Sigma M_{eks}$  dapat diekspresikan sebagai berikut:

$$\begin{aligned} \Sigma F_{eks} &= F_{grav,B} + F_{prop,B} + F_{aero,B} \\ \Sigma M_{eks} &= [\tau_x \tau_y \tau_z]^T \in \mathbb{R}^3 \end{aligned} \quad (2.25)$$

sehingga dengan menggunakan persamaan (2.25) maka didapatkan:

$$\begin{aligned} mg[s(\theta)] - K_t u &= m(\dot{u} + qw - rv) \\ -mg[c(\theta)s(\varphi)] - K_t v &= m(\dot{v} - pw + ru) \\ -mg[c(\theta)c(\varphi)] - K_t w + U_1 &= m(\dot{w} + pv - qu) \\ \tau_x &= \dot{p}I_x - qrI_y + qrI_z \\ \tau_y &= \dot{q}I_y + prI_x - prI_z \\ \tau_z &= \dot{r}I_z - pqI_x + pqI_y \end{aligned} \quad (2.26)$$

vektor *state* dapat diwakili pada persamaan berikut:

$$x = [\varphi \ \theta \ \psi \ p \ q \ r \ u \ v \ w \ x \ y \ z]^T \in \mathbb{R}^{12} \quad (2.27)$$

fungsi *state-space* didapatkanlah sebagai berikut:

$$\begin{aligned}
\dot{\varphi} &= p + q[s(\varphi)t(\theta)] + r[c(\varphi)t(\theta)] \\
\dot{\theta} &= q[c(\varphi)] - r[s(\varphi)] \\
\dot{\psi} &= p \left[ \frac{s(\varphi)}{c(\theta)} \right] + r \left[ \frac{c(\varphi)}{c(\theta)} \right] \\
\dot{p} &= \frac{\tau_x}{I_x} + qr \frac{I_y - I_z}{I_x} \\
\dot{q} &= \frac{\tau_y}{I_y} + pr \frac{I_z - I_x}{I_y} \\
\dot{r} &= \frac{\tau_z}{I_z} + pq \frac{I_x - I_y}{I_z} \\
\dot{u} &= rv - qw + g[s(\theta)] - \frac{K_t u}{m} \\
\dot{v} &= pw - ru - g[c(\theta)s(\varphi)] - \frac{K_t u}{m} \\
w &= qu - pv - g[c(\theta)c(\varphi)] + \frac{f_t - K_t u}{m} \\
\dot{x} &= w[s(\varphi)s(\psi) + c(\varphi)s(\theta)c(\psi)] - v[c(\varphi)s(\psi) - s(\varphi)s(\theta)c(\psi)] + u[c(\theta)c(\psi)] \\
\dot{y} &= v[c(\varphi)c(\psi) + s(\varphi)s(\theta)s(\psi)] - w[s(\varphi)c(\psi) - c(\varphi)s(\theta)s(\psi)] + u[c(\theta)s(\psi)] \\
\dot{z} &= w[c(\varphi)c(\theta)] + v[s(\varphi)c(\theta)] - u[s(\theta)]
\end{aligned} \tag{2.28}$$

(Suiçmez,2014)

model dinamis *hexacopter* terhadap *frame* bumi dengan beberapa asumsi yang dimana *frame hexacopter* memiliki *body rigid* dan simetris maka didapatkan dinamika gerak translasi berdasarkan hukum Newton II yaitu:

$$\Sigma F = m\ddot{\xi} \tag{2.29}$$

$$R_B^E U_T + F_g Z_g = m\ddot{\xi} \tag{2.30}$$

m adalah massa dari *hexacopter*,  $U_T$  adalah vector gaya translasi yang dinyatakan sebagaimana persamaan (2.31) dengan  $U_1 = f_t$  adalah gaya dorong total dan  $F_g$  adalah gaya gravitasi yang dinyatakan sebagai persamaan (2.32) berikut:

$$U_T = \begin{bmatrix} 0 \\ 0 \\ U_1 \end{bmatrix} \tag{2.31}$$

$$F_g = -mg \tag{2.32}$$

$$Z_g = \begin{bmatrix} 0 \\ 0 \\ 1 \end{bmatrix} \quad \text{www.itk.ac.id} \quad (2.33)$$

dengan mensubstitusikan persamaan (2.31 – 2.33) ke dalam persamaan (2.30) diperoleh persamaan dinamika gerak translasi sebagai berikut:

$$\begin{aligned} \ddot{x} &= -\frac{f_t}{m} [s(\varphi)s(\psi) + c(\varphi)c(\psi)s(\theta)] \\ \ddot{y} &= -\frac{f_t}{m} [c(\varphi)s(\psi)s(\theta) - s(\varphi)c(\psi)] \\ \ddot{z} &= -g + \frac{f_t}{m} [c(\varphi)c(\theta)] \end{aligned} \quad (2.34)$$

(Hamdani, 2017)

penyederhanaan model dinamika rotasi dapat dilakukan dengan membuat  $[\dot{\varphi} \ \dot{\theta} \ \dot{\psi}]^T = [p \ q \ r]^T$ . Dengan asumsi gangguan untuk sudut pergerakan kecil dan gangguan dari kondisi *hover* kecil. Sehingga model dinamika rotasi dapat dihubungkan sebagai berikut:

$$\begin{aligned} \ddot{x} &= -\frac{f_t}{m} [s(\varphi)s(\psi) + c(\varphi)c(\psi)s(\theta)] \\ \ddot{y} &= -\frac{f_t}{m} [c(\varphi)s(\psi)s(\theta) - s(\varphi)c(\psi)] \\ \ddot{z} &= -g + \frac{f_t}{m} [c(\varphi)c(\theta)] \\ \ddot{\varphi} &= \frac{I_y - I_z}{I_x} \dot{\theta}\dot{\psi} + \frac{\tau_x}{I_x} \\ \ddot{\theta} &= \frac{I_z - I_x}{I_y} \dot{\varphi}\dot{\psi} + \frac{\tau_y}{I_y} \\ \ddot{\psi} &= \frac{I_x - I_y}{I_z} \dot{\varphi}\dot{\theta} + \frac{\tau_z}{I_z} \end{aligned} \quad (2.35)$$

(Suiçmez, 2014)

## 2.7 Linearisasi

Titik ekuilibrium merupakan titik dimana perubahan *state* dari sistem bernilai nol. Sistem *nonlinear* memiliki titik ekuilibrium lebih dari satu, tidak seperti sistem yang *linear*. Dalam mengatasi sistem yang mempunyai sifat sistem yang *nonlinear* secara matematis tidaklah mudah, sehingga dilakukannya metode *linearisasi* pada sistem untuk menyelesaikan permasalahan *nonlinearitas* dengan melakukan pendekatan kedalam daerah tertentu, dengan *linearisasi* dilakukan dengan mengasumsikan osilasi atau pergerakan *hexacopter* yang kecil. Sehingga model sistem diekspresikan pada persamaan berikut:

$$\begin{aligned}
 \dot{\varphi} &\approx p + q\varphi\theta + r\theta \\
 \dot{\theta} &\approx q - r\varphi \\
 \dot{\psi} &\approx p\varphi + r \\
 \dot{p} &\approx \frac{\tau_x}{I_x} + qr \frac{I_y - I_z}{I_x} \\
 \dot{q} &\approx \frac{\tau_y}{I_y} + pr \frac{I_z - I_x}{I_y} \\
 \dot{r} &\approx \frac{\tau_z}{I_z} + pq \frac{I_x - I_y}{I_z} \\
 \dot{u} &\approx rv - qw + g[s(\theta)] - \frac{K_t u}{m} \\
 \dot{v} &\approx pw - ru - g[c(\theta)s(\varphi)] - \frac{K_t u}{m} \\
 \dot{w} &\approx qu - pv - g[c(\theta)c(\varphi)] + \frac{f_t - K_t u}{m} \\
 \dot{x} &\approx w(\varphi + \theta) - v(\psi - \varphi\psi) + u \\
 \dot{y} &\approx v(1 + \varphi\theta\psi) - w(\varphi - \theta\psi) + u\psi \\
 \dot{z} &\approx w + v\varphi - u\theta
 \end{aligned} \tag{2.36}$$

atau dapat ditulis dengan:

$$\dot{x} = f(x, u) \tag{2.37}$$

dimana  $u = [f_t \ \tau_x \ \tau_y \ \tau_z]^T \in \mathbb{R}^4$  adalah gaya dan torsi input sistem. Dalam melakukan *linearisasi* titik *equilibrium* diperlukan dimana titik titik *equilibrium* sebagai berikut:

$$\bar{x} = [0 \ 0 \ 0 \ 0 \ 0 \ 0 \ 0 \ 0 \ 0 \ 0 \ \bar{x} \ \bar{y} \ \bar{z}]^T \in \mathbb{R}^{12} \quad (2.38)$$

www.itk.ac.id

dengan nilai *input* konstan sebagai berikut:

$$\bar{u} = [mg \ 0 \ 0 \ 0]^T \in \mathbb{R}^4 \quad (2.39)$$

maka didapatkan matriks sistem *linear* yang ditunjukkan seperti berikut:

$$A = \frac{\partial f(x, u)}{\partial x} \Bigg|_{\substack{x = \bar{x} \\ u = \bar{u}}} = \begin{bmatrix} 0 & 0 & 0 & 1 & 0 & 0 & 0 & 0 & 0 & 0 & 0 & 0 \\ 0 & 0 & 0 & 0 & 1 & 0 & 0 & 0 & 0 & 0 & 0 & 0 \\ 0 & 0 & 0 & 0 & 0 & 1 & 0 & 0 & 0 & 0 & 0 & 0 \\ 0 & 0 & 0 & 0 & 0 & 0 & 0 & 0 & 0 & 0 & 0 & 0 \\ 0 & 0 & 0 & 0 & 0 & 0 & 0 & 0 & 0 & 0 & 0 & 0 \\ 0 & 0 & 0 & 0 & 0 & 0 & 0 & 0 & 0 & 0 & 0 & 0 \\ 0 & 0 & 0 & 0 & 0 & 0 & 0 & 0 & 0 & 0 & 0 & 0 \\ 0 & g & 0 & 0 & 0 & 0 & 0 & 0 & 0 & 0 & 0 & 0 \\ -g & 0 & 0 & 0 & 0 & 0 & 0 & 0 & 0 & 0 & 0 & 0 \\ 0 & 0 & 0 & 0 & 0 & 0 & 0 & 0 & 0 & 0 & 0 & 0 \\ 0 & 0 & 0 & 0 & 0 & 0 & 0 & 0 & 0 & 0 & 0 & 0 \\ 0 & 0 & 0 & 0 & 0 & 0 & 1 & 0 & 0 & 0 & 0 & 0 \\ 0 & 0 & 0 & 0 & 0 & 0 & 0 & 1 & 0 & 0 & 0 & 0 \\ 0 & 0 & 0 & 0 & 0 & 0 & 0 & 0 & 1 & 0 & 0 & 0 \\ 0 & 0 & 0 & 0 & 0 & 0 & 0 & 0 & 0 & 1 & 0 & 0 \end{bmatrix} \quad (2.40)$$

$$B = \frac{\partial f(x, u)}{\partial u} \Bigg|_{\substack{x = \bar{x} \\ u = \bar{u}}} = \begin{bmatrix} 0 & 0 & 0 & 1 \\ 0 & 0 & 0 & 0 \\ 0 & 0 & 0 & 0 \\ 0 & 1/I_x & 0 & 0 \\ 0 & 0 & 1/I_y & 0 \\ 0 & 0 & 0 & 1/I_z \\ 0 & 0 & 0 & 0 \\ 1/m & 0 & 0 & 0 \\ 0 & 0 & 0 & 0 \\ 0 & 0 & 0 & 0 \\ 0 & 0 & 0 & 0 \\ 0 & 0 & 0 & 0 \end{bmatrix} \quad (2.41)$$

dengan gangguan dianggap 0 maka:

$$d = [0 \ 0 \ 0 \ 0 \ 0 \ 0]^T \quad (2.42)$$

www.itk.ac.id

$$D = \frac{\partial f(x, u)}{\partial x} \Bigg|_{\substack{x = \bar{x} \\ u = \bar{u}}} = \begin{bmatrix} 0 & 0 & 0 & 0 & 0 & 1 \\ 0 & 0 & 0 & 0 & 0 & 0 \\ 0 & 0 & 0 & 0 & 0 & 0 \\ 0 & 0 & 0 & 1/I_x & 0 & 0 \\ 0 & 0 & 0 & 0 & 1/I_y & 0 \\ 0 & 0 & 0 & 0 & 0 & 1/I_z \\ 1/m & 0 & 0 & 0 & 0 & 0 \\ 0 & 1/m & 0 & 0 & 0 & 0 \\ 0 & 0 & 1/m & 0 & 0 & 0 \\ 0 & 0 & 0 & 0 & 0 & 0 \\ 0 & 0 & 0 & 0 & 0 & 0 \\ 0 & 0 & 0 & 0 & 0 & 0 \end{bmatrix} \quad (2.43)$$

dinamika sistem *linier* dapat direpresentasikan sebagai berikut dengan A adalah matriks sistem dan B adalah matriks input dengan x adalah variabel keadaan sistem dan u adalah variabel input:

$$\dot{x} = A \cdot x + B \cdot u + D \cdot d = A \cdot x + B \cdot u \quad (2.44)$$

$$\dot{\varphi} = p$$

$$\dot{\theta} = q$$

$$\dot{\psi} = r$$

$$\dot{p} = \frac{\tau_x}{I_x}$$

$$\dot{q} = \frac{\tau_y}{I_y}$$

$$\dot{r} = \frac{\tau_z}{I_z}$$

$$\dot{u} = g\theta - \frac{K_t u}{m}$$

$$\dot{v} = -g\varphi - \frac{K_t u}{m}$$

$$\dot{w} = \frac{f_t - K_t u}{m}$$

$$\dot{x} = u$$

$$\dot{y} = v$$

$$\dot{z} = w$$

(2.45)

(Sabatino, 2015)

## 2.8 Algorithm of Innovative Gunner (AIG)

Algorithm of Innovative Gunner (AIG) merupakan metode baru optimalisasi *metaheuristic* yang terinspirasi dari pemilihan parameter sudut artileri

dalam mengirim tembakan secara presisi ke target. Menggunakan metode *metaheuristic* untuk kasus balistik dapat diperlakukan sebagai uji keefektifan metode ini. Sebuah penembak dan kemampuan menembak dengan memilih sudut dalam setiap proses iterasi dengan hasil yang terbaik akan diperoleh dengan menggunakan dua faktor sudut koreksi dengan fungsi sudut  $g_1$  dan  $g_2$  dengan bentuk spesifik yang sama, maka digunakan persamaan dalam memperbarui solusi sebagai berikut:

$$x_1^{(i+1)} = x_1^i \cdot g(\xi_1) \cdot g(\xi_2). \quad (2.46)$$

$x_1^i$  adalah solusi berupa peluru dan variable sudut  $\xi_1$  dan  $\xi_2$  tidak berkaitan dengan teori fisika dari sudut balistik dan penggunaan dua sudut ini lebih memiliki hasil efisiensi komputasi yang tinggi dan bagaimanapun kedua sudut  $\xi_1 = \alpha$  dan  $\xi_2 = \beta$  dipilih secara acak dalam proses pemilihan dalam rentang  $(-\alpha_{max}, \alpha_{max})$  dan  $(-\beta_{max}, \beta_{max})$ . pemilihan sudut  $g_\alpha$  dan  $g_\beta$  sangatlah penting, maka dengan asumsi yang sama untuk sudut  $\beta$  dan  $\alpha$  maka fungsi sudut dipilih sebagai berikut:

$$g(\alpha) = csc(\alpha) = (\cos(\alpha))^{-1} \text{ for } \alpha > 0 \quad (2.47)$$

$$g(\alpha) = \cos(\alpha) \text{ for } \alpha \leq 0, \quad (2.48)$$

dan

$$g(\beta) = csc(\beta) = (\cos(\beta))^{-1} \text{ for } \beta > 0 \quad (2.49)$$

$$g(\beta) = \cos(\beta) \text{ for } \beta \leq 0, \quad (2.50)$$

Adapun tabel *Pseudocode* Algoritma AIG sebagai berikut:

Tabel 2. 1 *Pseudocode* Algoritma AIG

- 
- (1) *Start*
  - (2) Inisialisasi nilai komponen vektor dimana  $m$  sebagai ukuran solusi dan  $n$  sebagai jumlah variabel
 
$$[x_m^0] = [x_{m1}^0, x_{m2}^0 \dots x_{mn}^0]$$
  - (3) Tentukan nilai fungsi objektif untuk vektor awal  $F_{obj}(x_m^0)$ ,  $F_{obj\_best} = \min F_{obj}(x_m^0)$
-

- 
- (4) Tentukan jumlah iterasi  $i=1$   
 (5) Tentukan nilai kedua sudut koreksi dengan persamaan (2.46 - 2.49)  
 (6) Hitung vektor keputusan atau solusi dengan nilai sudut koreksi

$$x_{m,n}^{(i+1)} = x_{m,n}^{(i)} \cdot g(\alpha_{mn}^{(i)})g(\beta_{mn}^{(i)})$$

- (7) Tentukan nilai fungsi objektif  $F_{obj}(x_m^{(i+1)})$

$$F_{obj}(x_q^{(i+1)}) = \min [F_{obj}(x_m^{(i+1)})]$$

- 10 Jika  $F_{obj}(x_q^{(i+1)}) < F_{obj\_best}$  maka substitusi  $F_{obj\_best} = F_{obj}(x_q^{(i+1)})$  dan  $x_{best} = x_q^{(i+1)}$

- 11 Jika kondisi  $i + 1 = i_{max}$  maka keadaan end (step 12), jika tidak kembali ke langkah 5

12 End

---

\*)Pijarski,2019

## 2.9 Particle Swarm Optimization

*Particle Swarm Optimization* (PSO) adalah metode meta-heuristik yang terinspirasi dari alam yaitu perilaku dari kelompok seekor burung, dalam mencari solusi optimal secara *global*. Pada kecepatan dan posisi dari partikel diperbarui berdasarkan dari pengalaman pribadi dan sosial. Posisi partikel  $x_{i1}$  dapat diwakili sebagai berikut:

$$x_i = x_{i1}, x_{i2}, x_{in} \quad (2.50)$$

dan kecepatan partikel  $v_i$  dapat diwakili sebagai berikut:

$$v_i = v_{i1}, v_{i2}, v_{in} \quad (2.51)$$

setiap partikel memiliki memori lokal (*pBest*) yang menjaga posisi terbaiknya dan memori ini akan dibagikan secara *global* (*gBest*) untuk menjaga posisi *global* terbaiknya yang ditemukan. Hasil ini berpengaruh pada kecepatan terbang setiap partikel dimana menggunakan persamaan berikut:

$$v_i = \omega \times v_i + \varphi_1 \times \text{rand} \times (pBest_i - x_i) + \varphi_2 \times \text{rand} \times (gBest_i - x_i) \quad (2.52)$$

dimana  $\text{rand}$  adalah variabel random antara  $[0, 1]$ ,  $\varphi_1$  dan  $\varphi_2$  adalah koefisien percepatan dan  $\omega$  adalah berat partikel. Adapun persamaan *update* posisi sebagai berikut:

$$x_i = v_i + x_i \quad (2.53)$$

(Asta, 2012)

dengan  $v$  adalah kecepatan partikel dan  $x$  adalah posisi solusi dengan  $\omega$  dicari sebagai berikut:

$$\omega = \frac{2}{(2 - (\varphi_1 + \varphi_2) - \sqrt{(\varphi_1 + \varphi_2)^2 - 4\varphi_1\varphi_2})} \quad (2.54)$$

dimana  $\varphi = \varphi_1 + \varphi_2$ . Adapun *pseudocode* PSO sebagai berikut.

Tabel 2. 2 *Pseudocode Particle Swarm Optimization*

1. *Start*
2. *Initialize parameter*
3. *Initialize random solusi*
4. *initialize  $\varphi_1, \varphi_2, r_1, r_2, \omega, \text{iterasi max},$  and *stop condition**
5. *menghitung nilai fitness partikel*
6. *memperbarui nilai Pbest fitness*
7. *menentukan Gbest dari Pbest terbaik semua partikel*
8. *update kecepatan untuk tiap partikel*
9. *update posisi untuk tiap partikel*
10. *kondisi terpenuhi, jika tidak kembali ke Langkah 5*
11. *End*

\*)Robandi,2019

## 2.10 Momen Inersia

Perlu diketahui bahwa nilai dari momen inersia dari suatu benda tertentu memiliki nilai yang berbanding lurus dengan kuadrat jarak sumbu putarnya dan massa benda tersebut serta momen inersia sangat bergantung pada jarak benda dari sumbu. Adapun persamaan momen inersia pada sebuah batang tegar homogen yang diputar pada sumbu ditengah batang, maka momen inersia dapat dihitung menggunakan persamaan berikut:

$$I = \frac{1}{12}ML^2 \quad (2.55)$$

www.itk.ac.id

adapun momen inersia sebuah titik atau partikel yang berotasi terhadap sumbu yang berjarak  $r$  dari sumbu rotasi dengan  $m$  adalah massa benda maka momen inersianya memenuhi persamaan berikut:

$$I = mr^2 \quad (2.56)$$

(Rosyid, 2015)

untuk mengetahui nilai rotasi inersia dari suatu benda terhadap sumbu tertentu yang sumbunya parallel terhadap pusat massa benda yang dimana telah diketahui momen inersia  $I_m$  benda tersebut maka dengan  $h$  adalah jarak dari poros putar baru ke pusat massa benda dan  $M$  adalah massa benda maka dapat dicari menggunakan persamaan berikut:

$$I = I_m + Mh^2 \quad (2.57)$$

jika sebuah sistem mengandung sejumlah partikel maka momen inersia total  $I$  sistem tersebut adalah jumlah momen inersia masing masing partikel atau dapat ditulis sebagai berikut:

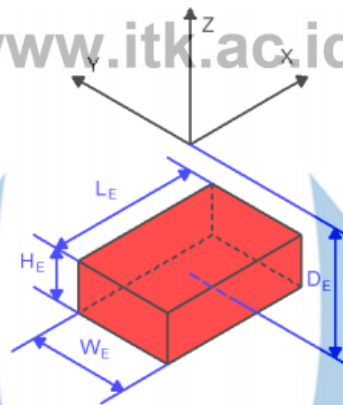
$$I = I_1 + I_2 + \dots + I_n$$

$$I = \sum_{i=1}^n I_i \quad (2.58)$$

(Abdullah, 2016)

momen inersia suatu balok dengan memiliki panjang  $L$ , lebar  $W$ , tinggi  $H$ ,  $M$  adalah massa  $M$  dan  $D_E$  adalah tinggi pusat massa ke titik sumbu putar dan diputar pada tiga buah sumbu putar seperti gambar 2.2 berikut.

www.itk.ac.id



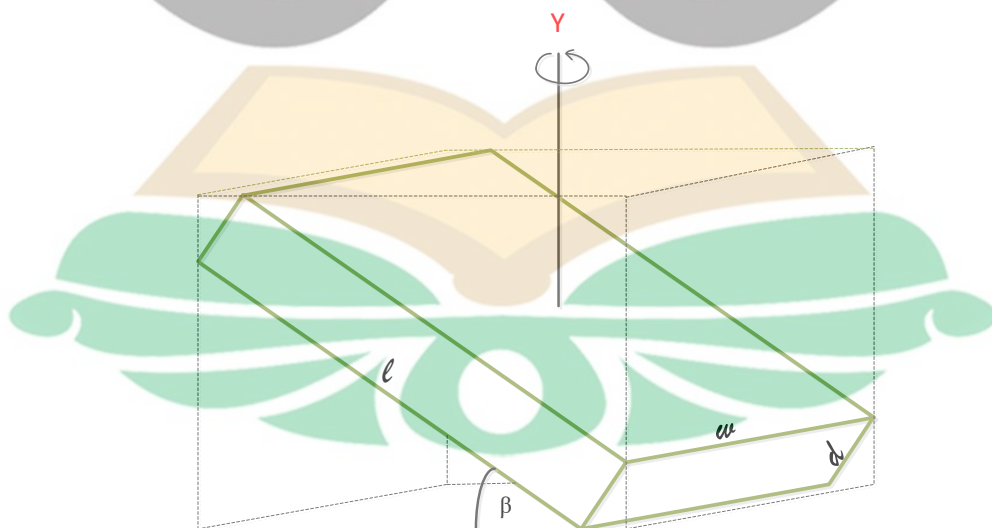
Gambar 2. 2 Balok (Bresciani,2008)

Momen inersia balok dapat dihitung dengan persamaan berikut:

$$\begin{aligned} I_x &= \frac{1}{12} M(W_E^2 + H_E^2) + MD_E^2 \\ I_y &= \frac{1}{12} M(L_E^2 + H_E^2) + MD_E^2 \\ I_z &= \frac{1}{12} M(L_E^2 + W_E^2) + MD_E^2 \end{aligned} \tag{2.59}$$

(Bresciani,2008)

adapun momen inersia balok miring dengan poros di sumbu y dengan membentuk sudut seperti gambar berikut.



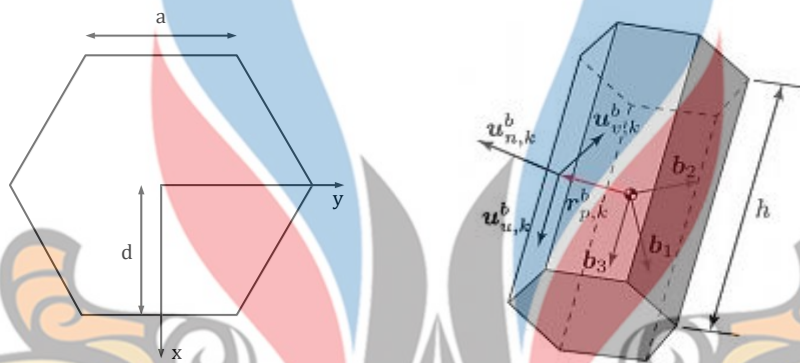
Gambar 2. 3 Balok Dengan Posisi Serong (Panagopoulos,2015)

$l$  adalah Panjang,  $\beta$  adalah sudut,  $d$  tinggi dan  $w$  adalah lebar maka persamaan momen inersia dapat ditulis sebagai berikut:

$$I = \frac{1}{12}m(l^2 \cos^2 \beta + d^2 \sin^2 \beta + w^2) \quad (2.60)$$

(Panagopoulos,2015)

adapun momen inersia balok segi enam dengan poros dipusat balok sebagai berikut.



Gambar 2. 4 Balok Segi Enam (zanetti,2018)

$h$  adalah tinggi,  $d$  adalah jarak pusat massa ke sisi permukaan,  $a$  adalah sisi segi enam,  $b_1$ ,  $b_2$  dan  $b_3$  adalah sumbu putar di pusat massa maka momen inersianya dapat dihitung dengan persamaan berikut:

$$I_{px} = I_{py} = \frac{a^2}{6} + \frac{d^2}{4} + \frac{h^2}{12} \quad (2.61)$$

$$I_{py} = \frac{a^2}{6} + \frac{d^2}{4} \quad (2.62)$$

(zanetti,2018)

## 2.11 Mean Absolute Error

Salah satu metode untuk mengevaluasi selisih antara nilai yang diinginkan dengan nilai yang didapatkan adalah dengan menggunakan perhitungan *Mean Absolute Error*. MAE dapat dituliskan pada persamaan (2.63) berikut:

$$MAE = \frac{1}{n} \sum_{i=1}^n |e_i| \quad \text{www.itk.ac.id} \quad (2.63)$$

$n$  adalah jumlah sampel data, dan  $|e_i|$  adalah nilai mutlak dari selisih antara nilai yang diinginkan dengan nilai aktual (Chai, 2014).

## 2.12 Estimasi Posisi

Ada benda yang bergerak cepat untuk berpindah posisi dan ada pula yang bergerak lambat, besaran kecepatan menunjukkan seberapa cepat benda berpindah yang dimana didapatkan dengan perbandingan jarak berpindah dan lama waktu untuk melakukan perpindahan yang dimana dapat didefinisikan sebagai berikut:

$$v = \frac{\Delta r_{21}}{\Delta t_{21}} \quad (2.64)$$

$r_1$  adalah jarak awal benda dan  $r_2$  jarak kedua benda dan  $t_{12}$  adalah waktu tempuh awal dan kedua. Dengan menggunakan persamaan (2.64) maka persamaan untuk jarak yang ditempuh atau estimasi posisi didapat sebagai berikut:

$$x_n = x_{n-1} + v_x^n (t_n - t_{n-1}) \quad (2.65)$$

$x_n$  adalah  $r_1$  dan  $x_{n-1}$  adalah  $r_2$  dan  $t_n - t_{n-1}$  adalah  $t_{12}$  (Abdullah, 2016) (Indrawati, 2015).

## 2.13 Posisi Penelitian

Posisi penelitian yang berkaitan dengan penelitian ini yang dilakukan sebagai gambaran utama dalam tugas akhir yang akan dilakukan dapat ditunjukkan pada tabel 2.3 berikut:

Tabel 2. 3 Posisi Penelitian

No	Nama Penulis dan Tahun Publikasi	Judul Penelitian	Hasil
1.	Chalidia Nurin Hamdani (2017)	Perancangan <i>Autonomous Vtol</i> Pada <i>Quadcopter</i> Dengan Menggunakan <i>Feedback Linearization</i> Dan <i>Fuzzy Takagisugeno</i>	<i>Control pada</i> pada gerak vertikal dengan menggunakan <i>controller fuzzy</i> mampu membuat respon <i>VTOL quadcopter</i> mengikuti sinyal referensi yang diberikan serta <i>error</i> jalur yang kecil.
2.	Simon Lindblom (2017)	<i>Modelling and Control of a hexarotor UAV</i>	Formulasi MPC untuk mencakup pelacakan referensi, penilaian membuktikan bahwa model tersebut layak tetapi membutuhkan evaluasi yang lebih ketat untuk menjamin kinerja yang baik. Pengontrol MPC menunjukkan kinerja yang menjanjikan dibandingkan dengan pengontrol lain dengan respon <i>tracking</i> yang lebih baik.
3	Johan Fogelberg (2013)	<i>Navigation and Autonomous Control of a Hexacopter in Indoor Environments</i>	Strategi kontrol untuk gerakan vertikal dan horizontal menggunakan kontroler PID memiliki hasil Keterlambatan waktu yang besar dalam proses <i>tracking</i> sehingga nilai <i>error tracking</i> cukup besar dan juga menyebabkan menurunkan estimasi posisi yang diinginkan dan kontrol.
4	Emre Can Suicmez (2014)	<i>Trajectory Tracking Of A Quadrotor Unmanned Aerial Vehicle (Uav) Via Attitude And Position Control</i>	Dari lintasan dicoba untuk diikuti oleh setiap pengontrol dan hasil simulasi pengontrol dibandingkan satu sama lain didapatkan bahwa pengontrol LQT dapat melacak relatif lintasan yang kompleks lebih akurat dan efisien dibandingkan dengan <i>backstepping</i> dan pengontrol LQR.

No	Nama Penulis dan Tahun Publikasi	Judul Penelitian	Hasil
5	Dwi Jaka Krisna M. (04161020)	Perancangan <i>Controller Algorithm Of Innovative Gunner (AIG) Pada Hexacopter Untuk Kontrol Automatic Landing</i>	Didapatkan hasil pengendali AIG memiliki performa yang lebih baik dari pada pengendali PSO dalam melakukan <i>automatic landing hexacopter</i> disemua ketinggian dengan hasil eror rata-rata yang lebih kecil dari hasil nilai eror rata-rata pengendali PSO.



[www.itk.ac.id](http://www.itk.ac.id)

[www.itk.ac.id](http://www.itk.ac.id)



Halaman Sengaja Dikosongkan

[www.itk.ac.id](http://www.itk.ac.id)